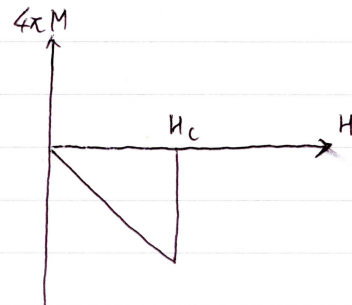
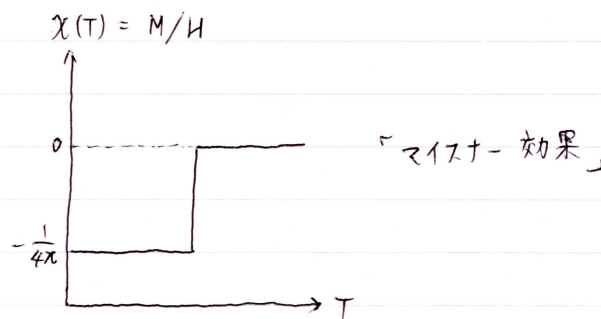
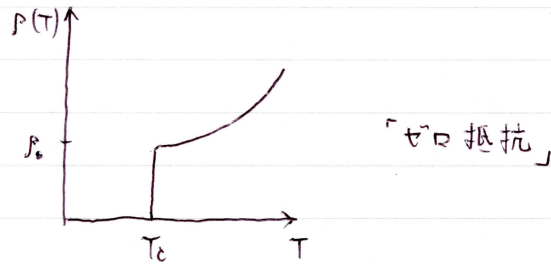


### 3. 超伝導

#### 3.1 現象概観



$$B = H + 4\pi M$$

$$B = 0 \quad M = -\frac{1}{4\pi} H$$

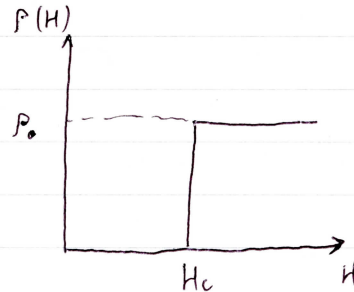
$$-\frac{1}{4\pi} \text{ emu/cm}^3$$

$$\sim -1 \text{ emu/ml}$$

↓

$$10^{-5} - 10^{-4} \text{ emu/ml}$$

Pauli Larmour



$$H_c \sim \text{数 } 100 \text{ G}$$

$$T_c \quad H_g \sim 4 \text{ K}$$

$$Pb \sim 7 \text{ K}$$

$$Nb_3Ge \sim 23 \text{ K}$$

$$\text{銅酸化物 } \lesssim 160 \text{ K}$$

$$\text{鉄系 } \lesssim 55 \text{ K (100 K?)}$$

$$\rho = 0 \text{ vs } B = 0$$

$\rho = 0 \rightarrow E = 0$  完全導体

$$\Rightarrow \frac{\partial B}{\partial t} = 0, \quad B = \text{const.} \quad \text{wt } B = 0$$

$B = 0$  : 強い条件、本質

### 3.2 ロンドン方程式

$$\vec{j} = -ne\vec{v} = -\frac{ne}{m} (\vec{P} + \frac{e}{c} \vec{A})$$

$\langle P \rangle \neq 0$  常伝導電流

$\langle P \rangle = 0$  より

$$\vec{j} = -\frac{ne^2}{mc} \vec{A}$$

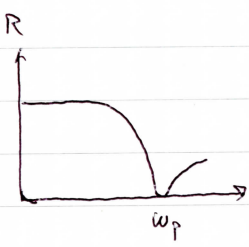
$$-\frac{ne^2}{mc} \vec{B} = \nabla \times \vec{j} = \nabla \times \nabla \times \frac{c}{4\pi} \vec{B}$$

$$= \frac{c}{4\pi} \left\{ \nabla(\nabla \cdot \vec{B}) - \nabla^2 \vec{B} \right\}$$

$$= -\frac{c}{4\pi} \nabla^2 \vec{B}$$

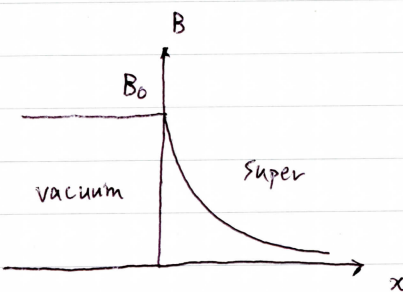
$$\nabla^2 \vec{B} = \frac{4\pi ne^2}{mc^2} \vec{B} = \frac{i}{\lambda^2} \vec{B}$$

$\omega_p^2$  : プラズマ周波数



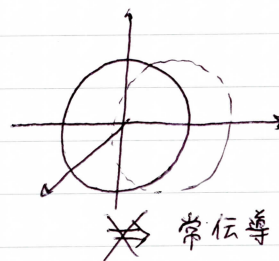
$$B(x) = B_0 \exp\left(-\frac{x}{\lambda}\right)$$

$$\lambda \sim 100 \text{ nm}$$



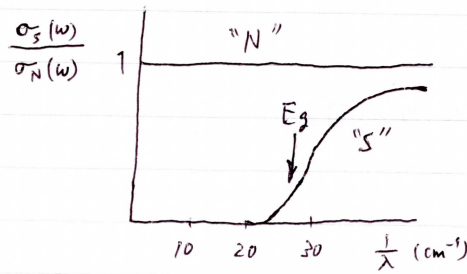
$$\langle P \rangle = 0$$

ツルミ球「硬」



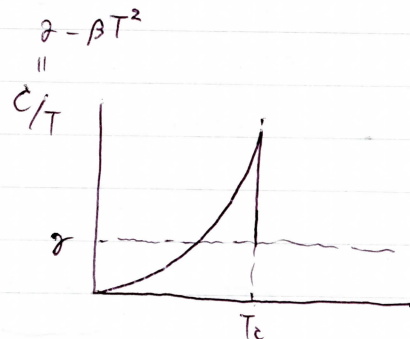
### 3.3 超伝導ギャップの存在

Pb 光吸收



1eV  $\approx 1000 \text{ cm}^{-1}$

$$\frac{E_g}{k_B T_C} \sim 5$$



$$C \propto \exp\left(-\frac{T_D}{T}\right)$$

$$T_D \sim \alpha T_C$$

電子励起  $\approx k_B T$  程度の“ギャップ”

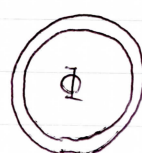
フェルミ面を凍結？

絶縁体ではない

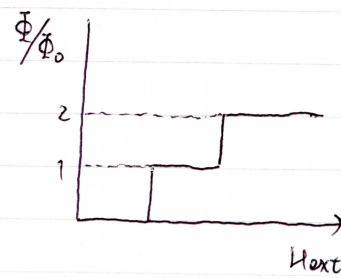
$k_B T$  程度のギャップ中の電子

凝縮相??

### 3.4 電子対の存在、マクロなコヒーレンス



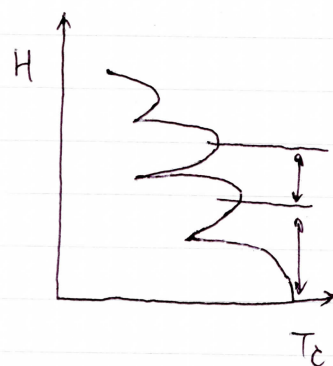
超伝導リング



磁束の量子化

$$\Phi_0 = \frac{hc}{2e}$$

$$\approx 2.07 \times 10^{-7} \text{ G} \cdot \text{cm}^2$$



$\Phi_0$  に対応

Little Parks 実験

## 二つの重要な implication

電子“対” 2個が2ニット  
 マクロなコヒーレンス

素朴な理解

$$\psi = \psi_0 e^{-i\theta(r)} : \text{マクロな波動関数}$$



$$-i\hbar \nabla \psi = \underbrace{-\hbar \nabla \theta}_{P} \psi$$

$$j_s \propto -\hbar \nabla \theta + \frac{e}{c} A \quad j_s \text{ inside} \rightarrow 0$$

$$\hbar \nabla \theta = \frac{e}{c} A$$

$$\oint \hbar \nabla \theta \cdot d\ell = \oint \frac{e}{c} A \cdot d\ell$$

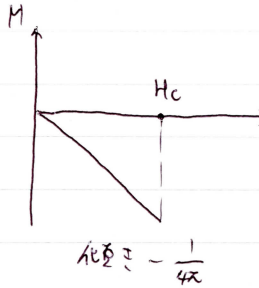
ドーナツ

$$\hbar 2\pi n = \frac{e}{c} \Phi$$

$$\Phi = \frac{ch}{e} n \leftrightarrow \text{実験 } \frac{ch}{2e}$$

$$\frac{e}{c} A \rightarrow \frac{"2e"}{c} A$$

### 3.5 超伝導凝集エネルギー



$$\Delta F = M dH$$

$$= -\frac{H}{4\pi} dH$$

$$\rightarrow F_s + \frac{H_c^2}{8\pi} = F_N$$

$$F_N - F_s = \frac{H_c^2}{8\pi}$$

$$Pb \quad H_c = 500 \text{ G}$$

$$\frac{H_c^2}{8\pi} = \frac{(500)^2}{8\pi} \sim 10^4 \text{ erg/cm}^3 \\ = \underline{\underline{10^{-3} \text{ J/cm}^3}}$$

$$\text{キャリア数 } n \sim 5 \times 10^{22} / \text{cm}^3$$

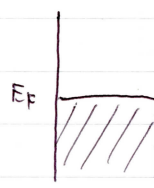
$$5 \times 10^{22} \times k_B T_c \sim \underline{\underline{5 \text{ J/cm}^3}} \Rightarrow F_N - F_s \\ (T_c \sim 7 \text{ K})$$

全部の電子が  $\Delta \sim k_B T_c$  をかせてているわけではない

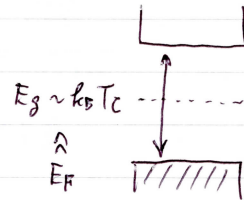
$$\text{ギャップ } \Delta \sim k_B T_c$$

$$\underbrace{N(E_F) k_B T_c}_{\text{かせてる電子数}} \times \underbrace{\frac{k_B T_c}{\Delta}}_{\Delta} \\ = \frac{5 \times 10^{22}}{2eV} \times 10^{-22} \times 10^{-22} \sim 1.6 \times 10^{-3} \text{ J/cm}^3$$

### 超伝導のイメージ



常伝導



$$\Delta E \sim N(E_F) (\frac{k_B T_c}{\Delta})^2 \\ \frac{E_g^2}{\Delta}$$

### 3.6 超伝導コヒーレンス長

$$\frac{d\omega}{dk} = v$$

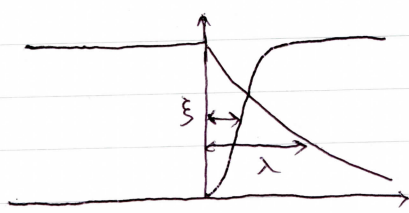
$k$ 空間でのボケ  $\Delta k \sim \frac{E_F}{\hbar} / v_F$      $\Delta x \sim \frac{1}{\Delta k} \sim \frac{\hbar v_F}{E_F}$

正確なら  $\xi = \frac{\hbar v_F}{\pi \Delta}$

$\xi$ : コヒーレンス長，クーパー対の拡がり

$$\xi \sim \frac{E_F}{\hbar} / \Delta \sim \frac{E_F}{\Delta} a \underset{\substack{\text{eV} \\ \text{meV}}}{\sim} 100 \text{ nm}$$

クーパー対：大きめに拡がっている

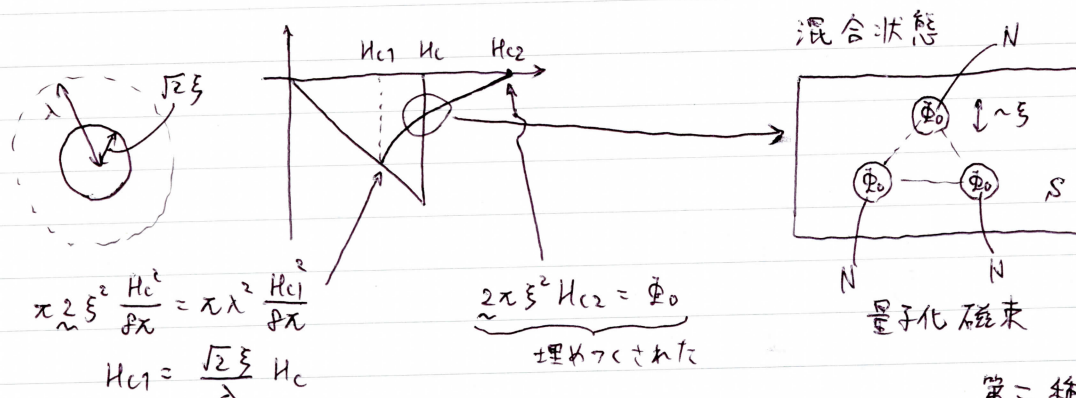


$$\lambda \sim 100 \text{ nm}$$

$$\frac{H_c^2}{8\pi} \text{ 指 } x < \xi$$

$$\frac{H^2}{8\pi} \text{ 得 } x < \lambda$$

$$\frac{H_c^2}{8\pi} \xi < \frac{H^2}{8\pi} \lambda \text{ のとき界面エネルギー負}$$



$$\pi^2 \xi^2 \frac{H_c^2}{8\pi} = \pi \lambda^2 \frac{H_c^2}{8\pi}$$

$$H_{c1} = \frac{\sqrt{2}\xi}{\lambda} H_c$$

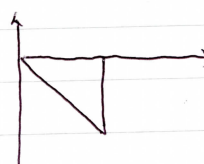
$$2\pi \xi^2 H_{c2} = \Phi_0$$

第二種

「実用」



$$\lambda \leq \sqrt{2}\xi$$

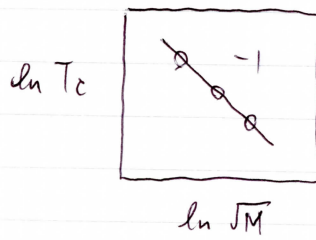


第一種

### 3.7 電子格子相互作用と引力

アイソトープ効果

H<sub>3</sub> 同位体 199, 200, 202



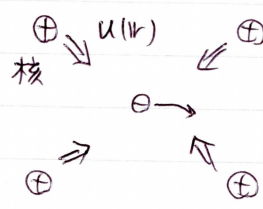
$$T_c \propto \sqrt{\frac{1}{M}}$$

フォノンのエネルギー - オスケル ?

$$\sqrt{\frac{k}{M}}$$

引力の担い手 phonon?  
格子

電子格子相互作用から引力へ  
定式化



$\nabla \cdot u(r) \propto$  核電荷の変調

$$dN_{ion}(r)$$

電荷密度分布  $n(r)$

$$H_{int} = \frac{1}{v} \int C n(r) \nabla \cdot u dr$$

↑  
単位胞の大きさ      ↓ 相互作用定数

$$n(r) = \sum_{\alpha} \psi_{\alpha}^{\dagger}(r) \psi_{\alpha}(r)$$

$$\psi_{\alpha}(r) = \frac{1}{\sqrt{N_A}} \sum_{\alpha} c_{k\alpha} e^{ik \cdot r}$$

Longitudinal  
only

$$u(r) = \frac{1}{\sqrt{N_A}} \sum_{\alpha} u_{\alpha} e^{i q \cdot r}$$

$$= \frac{1}{\sqrt{N_A}} \sum_{\alpha} \frac{e_q}{|q|} \sqrt{\frac{\hbar}{2M\omega_q}} (b_q e^{iq \cdot r} + b_q^+ e^{-iq \cdot r})$$

$$\nabla \cdot u(r) = \frac{1}{\sqrt{N_A}} \sum_{\alpha} i |q| \sqrt{\frac{\hbar}{2M\omega_q}} (b_q - b_q^+) e^{iq \cdot r}$$

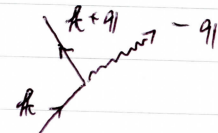
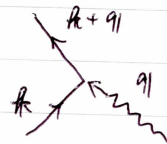
$$H = \frac{1}{v} c \int dr \frac{1}{N_A} \sum_{\alpha} \sum_{k'} \sum_{k} C_{k'k\alpha}^+ e^{-i k' \cdot r} C_{k\alpha} e^{i k \cdot r}$$

$$\times \frac{1}{\sqrt{N_A}} \sum_{\alpha} i |q| \sqrt{\frac{\hbar}{2M\omega_q}} (b_q - b_q^+) e^{iq \cdot r}$$

$$= \boxed{\frac{1}{N_A v} \left[ \sum_{\alpha} \sum_{k'} \sum_{k} \sum_{q} \frac{1}{\sqrt{N_A}} i |q| \sqrt{\frac{\hbar}{2M\omega_q}} C_{k'k\alpha}^+ C_{k\alpha} (b_q - b_q^+) \right] \int dr e^{i(q - k' + k) \cdot r}}$$

$$= \frac{1}{\sqrt{N_A}} \sum_{\alpha} \sum_{k, q} i c |q| \sqrt{\frac{\hbar}{2M\omega_q}} C_{k+q\alpha}^+ C_{k\alpha} (b_q - b_q^+)$$

$$= \frac{1}{\sqrt{N_A}} \sum_{k, q, \alpha} i \alpha_q (b_q - b_q^+) C_{k+q\alpha}^+ C_{k\alpha} ; \text{電子格子相互作用の一般形}$$



同様に二つめのプロセスは

$$\frac{\alpha_q^2}{\epsilon_{k'} - \epsilon_{k'-q} - \hbar\omega_q} C_{k+q}^+ C_{k'-q}^+ C_{k'} C_k$$

$$H_{\text{eff}} = \frac{1}{2} \sum_{k k' q} \alpha_q^2 \left\{ \frac{1}{\epsilon_k - \epsilon_{k+q} - \hbar\omega_q} + \frac{1}{\epsilon_{k'} - \epsilon_{k'-q} - \hbar\omega_q} \right\} C_{k+q}^+ C_{k'-q}^+ C_{k'} C_k$$

$\epsilon_k - \epsilon_{k+q} \ll \hbar\omega_q$  とし、スピノも明示すると、  
 $\epsilon_{k'} - \epsilon_{k'-q} \ll \hbar\omega_q$

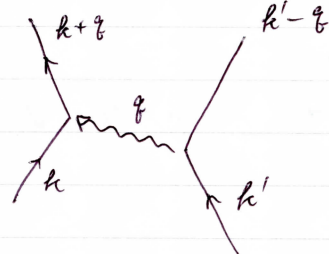
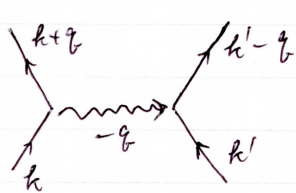
$$H_{\text{eff}} = \sum_{k k' q} - \left[ \frac{\alpha_q^2}{\hbar\omega_q} \right] C_{k+q \sigma}^+ C_{k'-q \sigma'}^+ C_{k' \sigma'} C_{k \sigma}$$

$$\alpha_q^2 = C^2 |\mathbf{g}|^2 \frac{\hbar}{2M\omega_q} \propto \frac{|\mathbf{g}|^2}{\omega_q^2}$$

$$\frac{\alpha_q^2}{\hbar\omega_q} \propto \frac{|\mathbf{g}|^2}{\omega_q^2} \propto \text{const.}$$

$$= \sum_{k, k', q} \left( -\frac{V}{2} \right) C_{k+q \sigma}^+ C_{k'-q \sigma'}^+ C_{k' \sigma'} C_{k \sigma}$$

## 二電子の実効的相互作用



T=0 phonon f.c.L

## 二次の振動

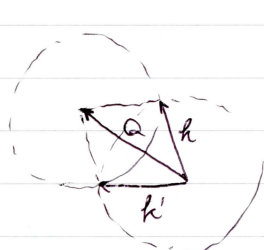
$$H_{\text{int}} \frac{1}{E - E_0} H_{\text{int}}$$

$$\begin{aligned} & -d_q^2 b_{-q} C_{k-q}^+ C_k - \frac{1}{E_{k+q} + \hbar\omega_q - E_k} b_{-q}^+ C_{k+q}^+ C_k \\ &= -d_q^2 \frac{1}{E_{k+q} + \hbar\omega_q - E_k} C_{k-q}^+ C_k C_{k+q}^+ C_k \\ &= \frac{d_q^2}{E_k - E_{k+q} - \hbar\omega_q} C_{k-q}^+ C_{k+q}^+ C_k C_k \end{aligned}$$

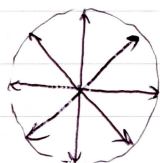
$[b_q, b_q^+] = 1$

$$(k, k') \rightarrow (k+q, k'-q)$$

$$k + k' = Q$$



円周上



$$k + k' = 0$$

$$k + k' = 0 \Rightarrow \text{対称支配的}$$

$\uparrow \downarrow$  の方から Coulomb potential をせげる  
exchange 項

$$\rightarrow H_{\text{eff}} = \sum_k -V C_{-k\uparrow}^+ C_{k\downarrow}^+ C_{k\downarrow} C_{-k\uparrow}$$

$C_{k\uparrow} C_{-k\downarrow}; k \rightarrow -k \text{ で同じ}$

一般には  $V_{kk'}$

$\uparrow \downarrow$  の相互作用の形に依存  
p 波 d 波